

01; 05; 08

© 1992

ВЛИЯНИЕ СИЛЬНОГО ЭЛЕКТРИЧЕСКОГО ПОЛЯ  
НА АНИЗОТРОПИЮ КОНЦЕНТРИРОВАНИЯ  
НЕРАВНОВЕСНЫХ ФОНОНОВ В КРИСТАЛЛАХ  
НИОБАТА ЛИТИЯ

В.В. Зубрицкий

Явление фокусировки неравновесных фононов, открытое в 1969 г. [1], положено в основу механизма направленности стимерного пробоя кристаллов [2]. Проверка этой модели, например, выполненная в [3] для центросимметричных сред, показала, несоответствие анизотропии пробоя и фокусировки фононов при  $E=0$ . Для нецентросимметричных кристаллов учет влияния на фокусировку электрического поля ( $E$ ) необходим [2]. Однако, хотя о влиянии внешнего поля на скорости распространения акустических волн в тригональном  $LiNbO_3$  сообщалось еще в [4], сведения о влиянии электрического поля на фокусировку фононов в этом материале в литературе отсутствуют. Расчеты анизотропии фокусирования фононов в  $LiNbO_3$  выполнены для случая  $E=0$  [5, 6], когда нелинейные эффекты не проявляются. При этом, все же, показано [6], что в сечении  $yz$  этого материала — плоскости локализации каналов неполного пробоя — имеются направления, совпадающие с ориентацией треков разрядов, но не обладающие максимальными значениями коэффициентов концентрирования.

Впервые численным методом влияние сильного электрического поля на анизотропию фокусирования неравновесных акустических фононов в плоскости  $yz$  тригонального  $LiNbO_3$  исследовано в настоящей работе.

Распределение упругих волн в кристаллах в квазистатическом приближении при наложении однородного электрического поля описывается модифицированными уравнениями Грина–Кристоффеля. В случае учета нелинейных членов только в первом порядке теории возмущений можно записать [7]:

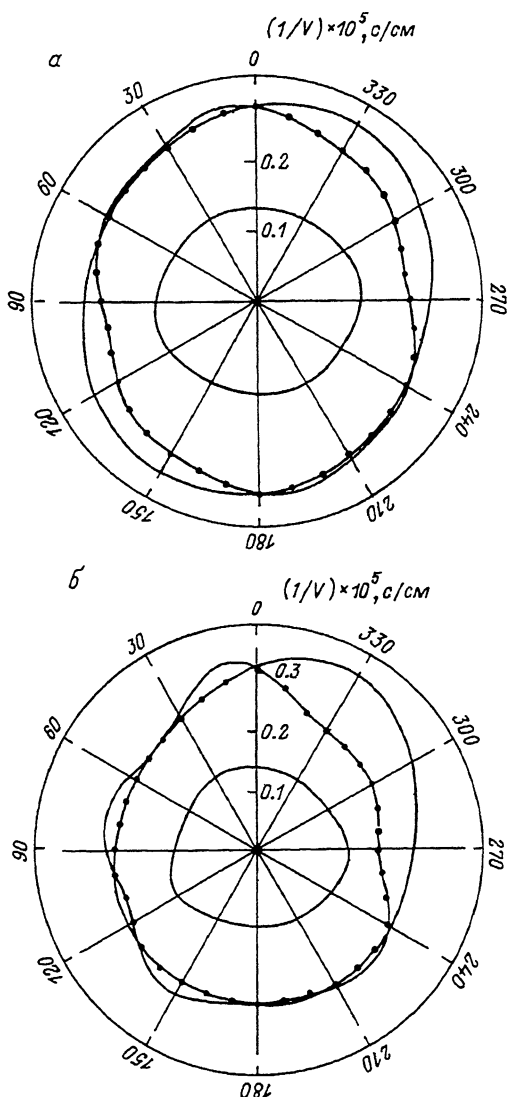
$$(\Gamma(E)_{ii} - \rho v^2 \delta_{ii}) u_i^o, \quad (1)$$

где

$$\Gamma(E)_{ii} = \Gamma_{ii} + \alpha_{ii} E. \quad (2)$$

Здесь  $\Gamma_{ii}$  — тензор Грина–Кристоффеля в невозмущенном состоянии [5, 8],  $\alpha_{ii}$  — нелинейные добавки, возникающие в электрическом поле.

Согласно [9], из набора нелинейных электромеханических коэффициентов основной вклад в изменение скоростей упругих волн вно-



Сечения поверхностей обратных фазовых скоростей продольных (внутренние кривые), быстрых и медленных (внешние кривые) поперечных акустических волн  $yz$ -плоскостью в ниобате лития при  $E=10^6$  (а) и  $10^7$  В/см (б).

сят модули нелинейного пьезоэффекта. Тогда в развернутом виде (1) будет иметь вид:

$$\left( c_{ijkl} n_j n_k + \frac{e_{mij} e_{nkl} n_m n_n}{\epsilon_{ij} n_j n_k} + e_{pijkl} E n_j n_k n_p - \rho v^2 \delta_{il} \right) u_i^\circ = 0, \quad (3)$$

Таблица

Направления ( $\theta_f$ ) и коэффициенты ( $A_c$ ) концентрирования, удовлетворяющие условию локального максимума, продольных ( $L_A$ ), медленных ( $S7A$ ) и быстрых ( $F7A$ ) поперечных акустических фононов в плоскости  $y \geq Li/Nb\partial_3$  в зависимости от величины напряженности электрического поля

Фононы	E=0		E=10 <sup>6</sup> В/см		E=10 <sup>6</sup> В/см		E=10 <sup>7</sup> В/см	
	$\theta_f$ , град.	$A_c$	$\theta_f$ , град.	$A_c$	$\theta_f$ , град.	$A_c$	$\theta_f$ , град.	$A_c$
$L_A$	58.9	1.7	1.0	1.11	6.2	1.04		
	143.1	1.36	60.3	1.77	67.7	4.02		
	179.9	1.12	145.5	1.35	161.1	1.77		
	238.9	1.7	178.6	1.14	224.5	1.67		
	323.1	1.36	237.4	1.65	308.6	2.64		
	359.9	1.12	320.7	1.39				
	351.7*	0.47	350.1*	0.44	334.1*	0.31		
	44.1	3.0	45.8	4.54	60.0*	2.75•10 <sup>2</sup>		
	76.8*	0.62	78.7*	0.63	49.3**	1.92		
	66.6*	1.42	68.3*	1.42	51.8	1.94		
$S7A$	188.4*	0.83	187.3*	0.84	54.2**	1.92		
	171.7*	0.47	173.3*	0.50	45.1*	3.86•10 <sup>3</sup>		
	224.1	3.0	222.1	2.29	115.2*	1.42		
	256.8*	0.62	255.7**	0.62	94.0*	0.95		
	246.6*	1.42	245.2**	1.41	124.2*	0.88		
	8.4*	0.83	248.5	1.41	104.5*	1.07		
			9.5*	0.82	185.3*	1.5		
					179.2*	0.98		
					207.1*	0.90		
					199.8*	1.57		

STA	64.9	61.6	1.44	49.2	0.45
	102.2*	103.1*	4.99.10 <sup>2</sup>	56.0*	1.17
	98.5*	99.5*	2.24.10 <sup>4</sup>	47.7*	1.74
	148.4	150.5	1.80	54.4	1.46
FTA	244.9	244.9	1.41	116.6*	1.92
	282.2*	281.5*	3.55.10 <sup>3</sup>	102.1*	1.80.10 <sup>2</sup>
	278.5*	277.5*	7.38.10 <sup>3</sup>	162.4	3.67.10 <sup>2</sup>
	328.4	326.5	2.66	195.7	1.02
	64.9	61.6	1.42	239.9	1.17
	6.28.10 <sup>2</sup>	103.1*	6.28.10 <sup>2</sup>	284.1*	5.38.10 <sup>2</sup>
	2.97.10 <sup>3</sup>	99.5*	2.97.10 <sup>3</sup>	267.6*	7.76.10 <sup>2</sup>
	2.14	150.5	2.14	317.8*	4.51.10 <sup>2</sup>

где  $c_{ijkl}$ ,  $e_{mij}$ ,  $e_{pjkl}$  и  $\varepsilon_{ij}$  – тензоры модулей упругости, линейного, нелинейного пьезоэффектов и диэлектрической проницаемости соответственно,  $\rho$  – плотность кристалла,  $v$  – скорости упругих волн,  $\vec{u}$  – вектор поляризации среды,  $\{\vec{n}\}$  – компоненты единичных векторов направлений распространения волны и электрического поля.

Решение (3) дает зависимость фазовых скоростей продольной ( $LA$ ), быстрой ( $FTA$ ) и медленной ( $STA$ ) поперечных акустических мод от направления распространения при заданном значении напряженности электрического поля. На рисунке показаны  $\frac{dx}{dt}$  – сечения поверхностей рефракции ниобата лития при  $E=10^6$  и  $10^7$  В/см, откуда хорошо видна деформация поверхностей медленностей, обусловленная влиянием сильного поля.

Направления фокусировки находили путем анализа сечений поверхностей медленностей [3, 5, 10]. Коэффициент концентрирования  $A_c$  для сечений определяли по методу [10]. Значения модулей упругости и диэлектрической проницаемости взяты из [11], линейного и нелинейного пьезоэффектов – из [12] и [9] соответственно.

Рассчитанные направления фокусирования энергии всех трех акустических мод для различных значений  $E$  представлены в таблице. Наряду с направлениями инфинитных потоков фононов, обусловленных областями нулевой кривизны сечений поверхностей рефракции и отмеченных звездочками, указаны направления неинфinitного концентрирования, удовлетворяющие условию локального максимума. Вследствие чувствительности направлений фокусировки к масштабной сетке инфинитные направления, проявившие в численном расчете не экстремум, а резкое изменение коэффициента концентрирования (при неизменном шаге сканирования), отмечены двумя звездочками. Конечность значений  $A_c$  для инфинитных направлений обусловлена дискретностью счета.

Из представленных данных видно, что у  $LA$  моды в диапазоне  $E=0-10^7$  В/см отсутствуют направления инфинитных потоков фононов. Включение поля приводит к постепенному отклонению направлений локальных максимумов концентрирования от исходных, и наблюдается заметный рост коэффициента концентрирования для двух направлений –  $58.9^\circ$  и  $323.1^\circ$ , которые в поле  $E=10^7$  В/см локализованы уже при  $67.7^\circ$  и  $308.6^\circ$  соответственно. Кроме того, если в области слабых долей наблюдается шесть локальных максимумов, то при  $E=5 \cdot 10^6$  В/см остается только пять.

У  $STA$  моды при  $E=0$  число особых направлений равно 10, из которых 8 инфинитны. Полевая деформация поверхности рефракции для медленных поперечных фононов столь существенна, что при  $E=10^7$  В/см количество инфинитных направлений возрастает до 16 из общего числа, равного 18. Направления, локализованные в отсутствие поля при  $66.6^\circ$  и  $76.8^\circ$ , испытывают максимально зарегистрированные повороты на  $27.4^\circ$  и  $38.4^\circ$  соответственно.

Число особых направлений у быстрых поперечных фононов вплоть до  $E=5 \cdot 10^6$  В/см остается стабильным и равным 8, а поворот

отдельных направлений может достигать десяти градусов. В поле  $10^7$  В/см количество инфинитных направлений удваивается до 8 из общего числа - 13, при этом отклонения отдельных направлений фокусировки от исходных достигают 14-15 градусов.

С точки зрения корреляции направлений пробоя и фокусировки фононов обращает внимание следующее. Как при  $E=0$ , так и во внешнем поле только учет неинфinitных потоков позволяет обеспечить их совпадение с ориентацией каналов пробоя. Действительно, из табл. видно, что для  $0^\circ$  и  $220^\circ$ -разрядов минимальное несовпадение с инфинитными потоками фононов для *STA* и *FTA* мод в диапазоне  $E=0-10^7$  В/см составляет более  $8^\circ$  и  $20^\circ$  соответственно. В поле  $10^7$  В/см только у *STA* моды достигается совпадение с  $60^\circ$ -треком разряда.

Учет слабо выраженных направлений концентрирования существенно меняет картину. Так, у *LA* моды обнаруживается направление, совпадающее с  $0^\circ$ -треком в диапазоне  $0 \leq E \leq 10^6$  В/см. Для  $60^\circ$ -разряда наряду с *STA* модой также находим совпадающие направления у *LA* моды в диапазоне  $0 \leq E \leq 10^6$  В/см и у *FTA* фононов при  $E=10^6$  В/см. К  $220^\circ$ -треку приближаются максимумы концентрирования *LA* и *STA* мод при  $E \geq 10^7$  и  $\approx 10^6$  В/см соответственно.

Поскольку эффект полярности в [2] не затрагивается, столь значительное различие величин напряженностей электрического поля для различных мод в последнем случае указывает на предпочтительное рассмотрение *STA* моды, так как относительная малость деформации волновых поверхностей при  $E \leq 10^6$  В/см позволяет, как это следует из наших исследований, не учитывать влияния знака электрического поля.

Таким образом, воздействие сильного электрического поля может кардинально изменить анизотропию фокусирования неравновесных фононов в ниобате лития. Это проявляется, во-первых, в возможности сканирования фокусированных потоков фононов и, во-вторых, как в подавлении исходных, так и в генерировании полем новых. Наиболее легко управляемы потоки концентрирования энергии медленных поперечных фононов.

Кроме того, анизотропия концентрирования заметно чувствительна к вариации материальных констант кристалла, измеренных на различных образцах. Аналогичные же данные относительно ориентации пробоя в различных кристаллах ниобата лития отсутствуют.

Во всем исследованном диапазоне  $E$  в рассмотренном случае удается добиться совпадения с направлениями инфинитного фокусирования одного из трех каналов неполного пробоя  $E=10^7$  В/см. Учет, в отличие от требований [2], слабо выраженных направлений концентрирования позволяет обеспечить в этом материале совпадение всех треков разрядов с особыми направлениями фокусировки в диапазоне  $E$  не выше  $10^6$  В/см. Однако правомерность такого подхода - предмет отдельных исследований.

Выражаю благодарность В.Н. Белому за полезные обсуждения.

## Список литературы

- [1] Taylor B., Maris H.J., Elbaum C. // Phys. Rev. Lett. 1969. V. 23. N 8. P. 416-419.
- [2] Черноозатонский Л.А. // Письма в ЖЭТФ. 1983. Т. 38. В. 5. С. 225-228.
- [3] Зубрицкий В.В. // ЖТФ. 1991. Т. 61. Вып. 10. С. 82-85.
- [4] Гуляев Ю.В., Каинский С.С., Мондиков В.Д. // Письма в ЖТФ. 1975. Т. 1. В. 17. С. 791-794.
- [5] Coos G.L., Wolf J.P. // Phys. Rev. B. 1984. V. 30. N 6. P. 3470-3481; // Phys. Rev. B. 1984. V. 29. N 10. P. 6015-1017.
- [6] Зубрицкий В.В. // ФТТ. 1992. Т. 34. В. 7.
- [7] Зайцева М.П., Кокорин Ю.И., Сандлер Ю.М. и др. Нелинейные электромеханические свойства ацентрических кристаллов / Отв. ред. К.С. Александров. Новосибирск: Наука, 1986. 176 с.
- [8] Федоров Ф.И. Теория волн в кристаллах. М.: Наука, 1965. 386 с.
- [9] Cho Y., Yamamotouchi K. // J. Appl. Phys. 1987. V. 61. N 3. P. 875-887.
- [10] Lax M., Narayanamurti V. // Phys. Rev. B. 1980. V. 22. N 10. P. 4876-4897.
- [11] Warne A.W., Ono M., Coquinn G.A. // JASA. 1967. V. 42. N 6. P. 1223-1231.
- [12] Graham R.A. // J. Appl. Phys. 1977. V. 48. N 6. P. 2153-2163.

Институт физики им. Б.И. Степанова  
АН Беларуси, Минск

Поступило в Редакцию  
13 июля 1992 г.